

Динамическое демпфирование вибрационного горения в модели каупера при присоединении демпфирующего контура на входе вентилятора

ГОЦУЛЕНКО В.В., ГОЦУЛЕНКО В.Н.

Институт предпринимательства “Стратегия”
Днепропетровский государственный технический университет

Рассмотрено динамическое демпфирование автоколебаний в модели регенеративного воздухоподогревателя с сотовой вертикальной камерой горения и присоединенным на входе вентилятора проточного демпфера. Получена математическая модель рассматриваемой колебательной системы. Определены особенности демпфирования автоколебаний вибрационного горения.

Розглянуто динамічне демпфування в моделі регенеративного повітрянагрівача із стільниковою вертикальною камерою горіння та приєднанням на вході вентилятора проточного демпфера. Одержана математична модель даної коливальної системи. Визначені особливості демпфування автоколивань вібраційного горіння.

Dynamic damping in the model of regenerative air-heater with the cellular vertical chamber of burning and added on the entrance of ventilator of running damper is considered. The mathematical model of considered oscillatory system is received. Features damping self-oscillations of vibrating burning are determined.

Введение. Основными механизмами возбуждения автоколебаний вибрационного горения являются: запаздывание τ сгорания топлива введенное Л. Крокко и образование восходящей ветви зависимости напора $F(G)$ от расхода G потока в камере горения [1]. Уменьшение амплитуды таких колебаний снижением интенсивности dF/dG за счет повышения активного сопротивления было рассмотрено в [2]. Управление амплитудой автоколебаний вибрационного горения при одновременном действии основных механизмов исследовано в [3]. В механических и электрических колебательных контурах [4-5] определено динамическое демпфирование колебаний, когда они описываются линейными динамическими системами. Причем причины, вызывающие колебания могут быть любыми, в частности созданные периодическим действием внешних сил.

В данной работе рассматривается динамическое демпфирование автоколебаний вибрационного горения в регенеративных воздухоподогревателях доменных печей (кауперах) при присоединении на входе вентилятора проточного динамического демпфера.

Объект исследования и его математическое описание. Рассматриваемая модель (рис.1) состоит из: камеры горения – 1, в которую осуществляется подача газа из коллектора – 2, а воздух подается вентилятором – 3, на входе которого приключен колебательный контур – 4 с акустическими параметрами L_{a1} и C_{a1} . На выходе из камеры горения также установлен аккумулятор массы изменяемого объема с емкостью C_a .

Уравнение аккумулятора массы на входе в демпфер запишем в форме принятой в [6]:

$$C_{a1} \frac{dp_1}{dt} = G_{\text{вх}} - G_{\text{вент}}. \quad (1)$$

Уравнение движения в подводящем трубопроводе колебательного контура имеет вид:

$$L_{a1} \frac{dG_{\text{вх}}}{dt} = p_0 - p_1 - k_{\text{вх}} G_{\text{вх}}^2. \quad (2)$$

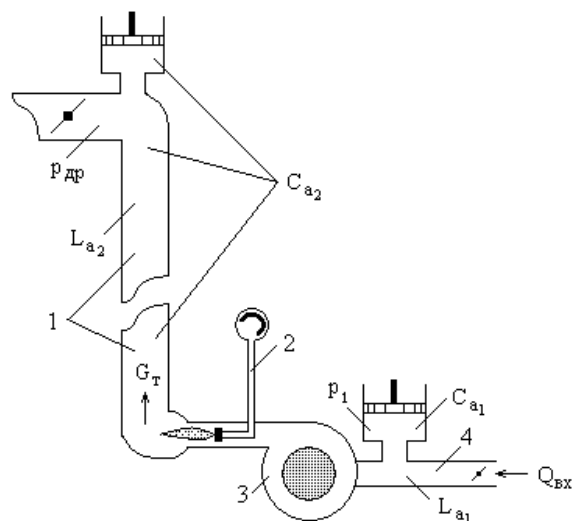


Рис. 1. Схема устройства динамического демпфирования с подключением проточного демпфера перед вентилятором

Обозначая $p_0 - p_1 = P$, запишем (1) – (2) в виде системы, которая описывает нестационарные движения в проточном демпфере:

$$\begin{cases} C_{a1} \frac{dP}{dt} = G_{\text{вх}} - G_{\text{вент}}, \\ L_{a1} \frac{dG_{\text{вх}}}{dt} = P - k_{\text{вх}} G_{\text{вх}}^2. \end{cases} \quad (3)$$

Уравнение изменения импульса массы в вертикальной камере горения запишем в виде:

$$L_{a2} \frac{dG_{\text{т}}}{dt} = p_1 + F(G_{\text{т}}) - \rho_t g Z_{\ell} - h_{\text{т}}(G_{\text{т}}) - p_{\text{др}}(G_{\text{вх}}) - p_z \quad (4)$$

где $\rho_t g Z_{\ell} S$ – вес среды в камере горения, S – площадь поперечного сечения камеры горения, $F(G_{\text{т}})$ – характеристика параллельного соединения вентилятора

и системы подачи газа. Поскольку $p_0 = p_z + \rho_0 g Z_\ell$, то уравнение (4) перепишем в следующей форме:

$$L_{a_2} \frac{dG_T}{dt} = p_1 + F(G_T) - p_0 + gZ_\ell(\rho_0 - \rho_t) - h_T(G_T) - p_{др}(G_{вых}),$$

или

$$L_{a_2} \frac{dG_T}{dt} = -P + F(G_T) + A(G_T) - h_T(G_T) - p_{др}, \quad (5)$$

где $A(G_T) = gZ_\ell(\rho_0 - \rho_t)$, $p_{др} = k_{др} G_{др}^2$, $G_T = vG_{вент}$.

Уравнение камеры горения:

$$C_{a_2} \frac{dp_{др}}{dt} = G_T(t - \tau) - G_{вых}. \quad (6)$$

Уравнение дросселя на выходе из камеры горения:

$$p_{др} = k_{др} G_{вых}^2. \quad (7)$$

Величина $k_{др}$ определяет стационарный режим работы камеры горения.

Таким образом, окончательно динамика в рассматриваемой модели камеры горения (рис.1) описывается следующей динамической системой с двумя степенями свободы:

$$\begin{cases} L_{a_2} \frac{dG_T}{dt} = -P + F(G_T) + A(G_T) - h_T(G_T) - p_{др}, \\ C_{a_2} \frac{dp_{др}}{dt} = G_T(t - \tau) - G_{вых}, \\ L_{a_1} \frac{dG_{вх}}{dt} = P - k_{вх} G_{вх}^2, \\ C_{a_1} \frac{dP}{dt} = G_{вх} - G_{вент}, \\ G_T = vG_{вент}, \\ p_{др} = k_{др} G_{вых}^2. \end{cases} \quad (8)$$

Характеристика $F(G_T)$ аппроксимируется полиномом третьей степени: $F(G_T) = F_0 - \sigma G_T^3$, $F_0 = 1800$, $\sigma = 5$.

Из условия: $\frac{dG_T}{dt} = 0$, $\frac{dp_{др}}{dt} = 0$, $\frac{dG_{вх}}{dt} = 0$,

$\frac{dP}{dt} = 0$, определяем стационарный режим:

$$G_T^* = \xi, \quad p_{др}^* = k_{др} \xi^2, \quad G_{вх}^* = v^{-1} \xi, \quad P^* = k_{вх} v^{-2} \xi^2,$$

где

$$k_{др} = \xi^{-2} (F(\xi) - A + h_T(\xi)) + k_{вх} v^{-2}.$$

В безразмерных переменных:

$$x_1 = G_T / G_T^* \equiv m_1 G_T, \quad x_2 = p_{др} / p_{др}^* \equiv m_2 p_{др},$$

$$x_3 = G_{вх} / G_{вх}^* \equiv m_3 G_{вх}, \quad x_4 = P / P^* \equiv m_4 P,$$

$t \rightarrow m_1 t$, $\tau \rightarrow m_1 \tau$, система (8) запишется в следующем виде:

$$\begin{cases} \frac{dx_1}{dt} = a_1 \left(-x_2 + m_2 F \left(\frac{x_1}{m_1} \right) + m_2 A - m_2 h_T \left(\frac{x_1}{m_1} \right) - \frac{m_2}{m_4} x_4 \right), \\ \frac{dx_2}{dt} = a_2 \left(x_1(t - \tau) - m_1 \sqrt{\frac{x_2}{m_2 k_{др}}} \right), \\ \frac{dx_3}{dt} = a_3 \left(x_4 - \frac{m_4 k_{вх}}{m_3^2} x_3^2 \right), \\ \frac{dx_4}{dt} = a_4 \left(\frac{m_3}{v m_1} x_1 - x_3 \right), \end{cases} \quad (9)$$

где $a_1 = (L_{a_2} m_2 m_1^{-1})^{-1}$, $a_2 = (C_{a_2} m_1 m_2^{-1})^{-1}$,
 $a_3 = (L_{a_1} m_4 m_1^{-1})^{-1}$, $a_4 = (C_{a_1} m_3 m_4^{-1})^{-1}$.

На рис. 2 приведены предельные циклы системы (9) и демпфирование соответствующих им автоколебаний.

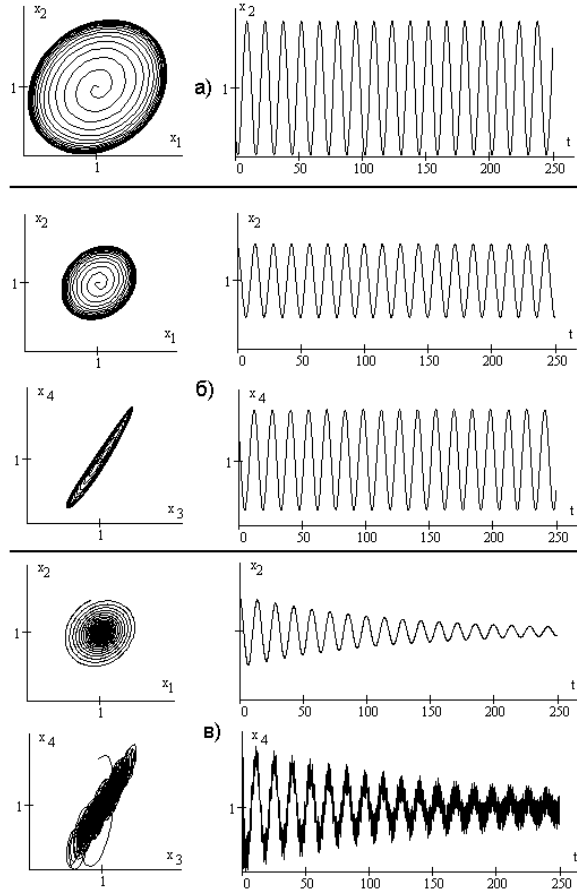


Рис. 2. Демпфирование автоколебаний в камере горения (рис. 1) при различных значениях акустических параметров проточного динамического демфера, $\tau = 0$, $a_1 = a_3 = 1$, $a_2 = 1/5$: а) демфер отсутствует; б) $a_4 = 1$; в) $a_4 = 20$